

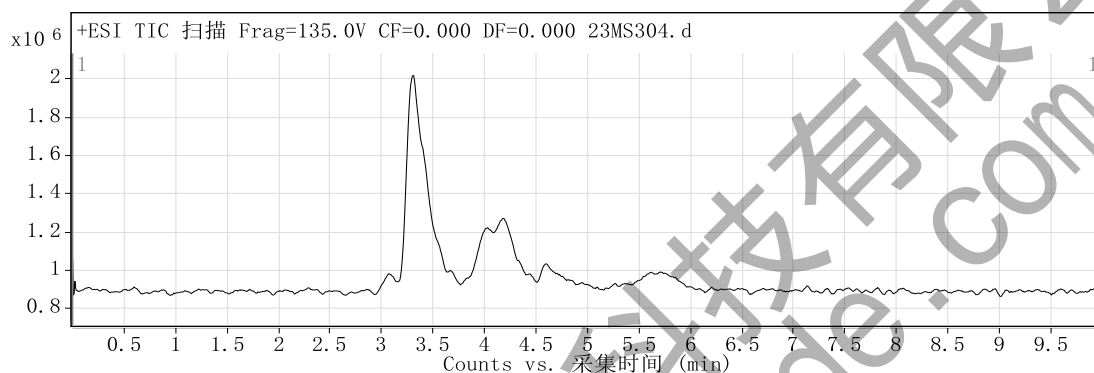
# 定性分析报告

数据文件名称 23MS304.d 样品名称 23MS304 51-35-4 Y101220301  
样品类型 Calibration 位置 Vial 47  
仪器名称 Instrument 1 用户名 DESKTOP-4G0NUSO\mouxin  
采集方法 通用方法(D泵).m 采集时间 2023/9/20 1:08:39  
IRM 校正状态 Not Applicable DA 方法 Default.m  
注释

设备类型 TandemQuadrupole Sample Group  
Info. Stream Name LC 1  
Acquisition SW 6400 Series Triple  
Version Quadrupole 10.0 (142)

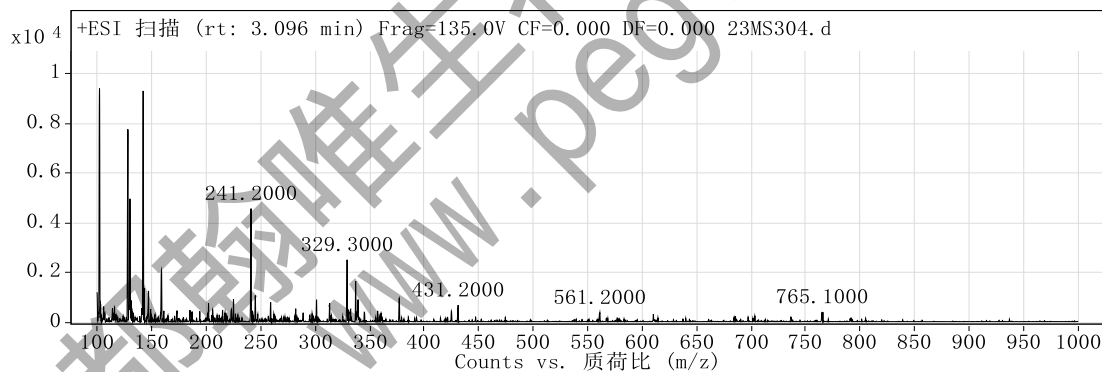
## 用户色谱图

裂解电压 135 碰撞能量 0 电离模式 ESI



## 用户质谱图

裂解电压 135 碰撞能量 0 电离模式 ESI

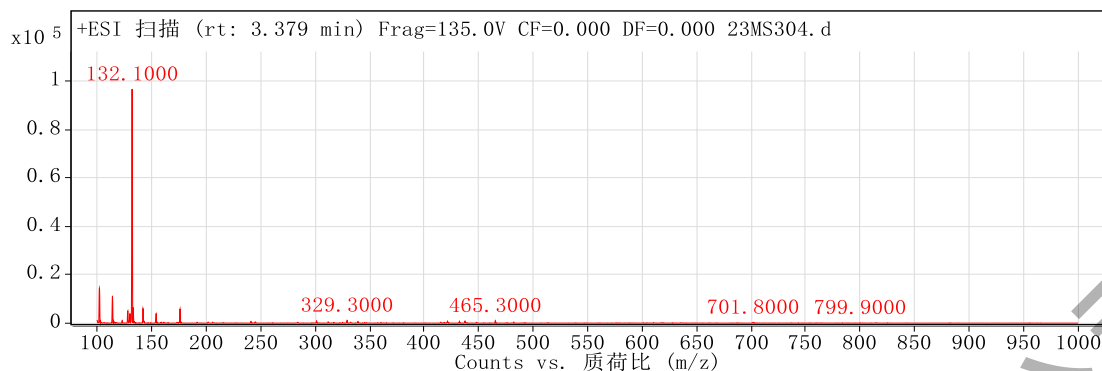


## 峰列表

| m/z   | z | 丰度      |
|-------|---|---------|
| 102.2 | 1 | 9409.8  |
| 128.2 |   | 7771.48 |
| 130.1 |   | 4980.42 |
| 142.2 | 1 | 9315.06 |
| 143.2 | 1 | 1395.3  |
| 147.1 |   | 1276.26 |
| 159.1 |   | 2109.26 |
| 241.2 | 1 | 4586.52 |
| 329.3 |   | 2528.64 |
| 337.2 |   | 1665.84 |

裂解电压 135 碰撞能量 0 电离模式 ESI

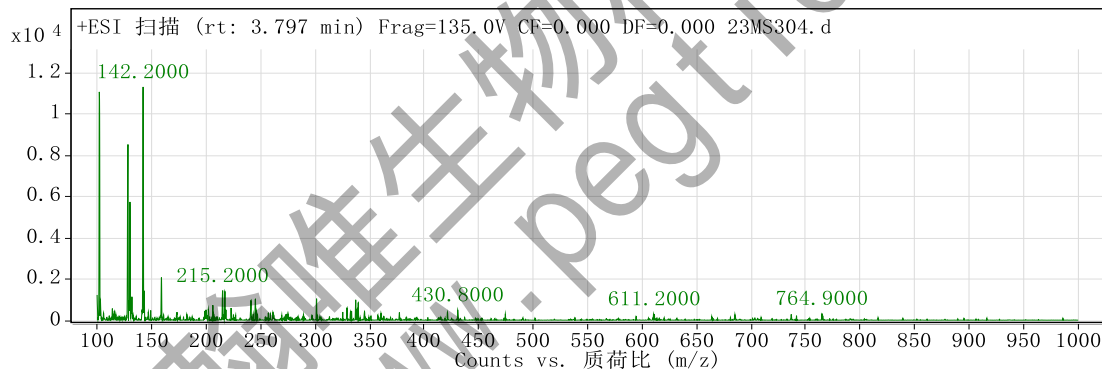
# 定性分析报告



峰列表

| m/z   | z | 丰度       |
|-------|---|----------|
| 102.1 | 1 | 14519.24 |
| 114.1 | 1 | 11053.36 |
| 128.2 |   | 5137.6   |
| 130.1 |   | 3970.98  |
| 132.1 | 1 | 96898.02 |
| 133.1 | 1 | 6488.56  |
| 142.1 |   | 6088.84  |
| 154.2 |   | 3993.82  |
| 176.1 | 1 | 5901.56  |
| 329.3 |   | 1193.36  |

裂解电压 135      碰撞能量 0      电离模式 ESI

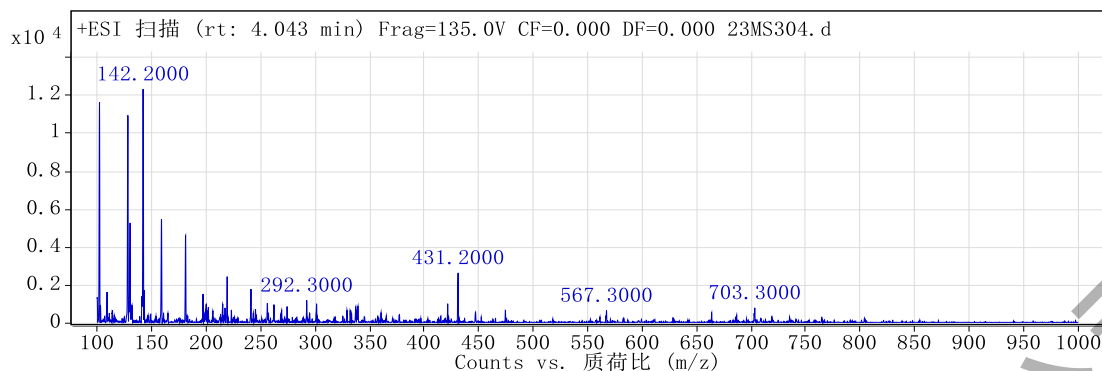


峰列表

| m/z   | z | 丰度       |
|-------|---|----------|
| 102   | 1 | 11085.76 |
| 128.3 |   | 8543.46  |
| 130.1 |   | 5763.04  |
| 131.9 |   | 1175.8   |
| 142.2 | 1 | 11326.56 |
| 143.2 | 1 | 1463.72  |
| 159   |   | 2104.98  |
| 215.2 |   | 1466.18  |
| 217.2 |   | 1434.46  |
| 301.3 | 1 | 1081.86  |

裂解电压 135      碰撞能量 0      电离模式 ESI

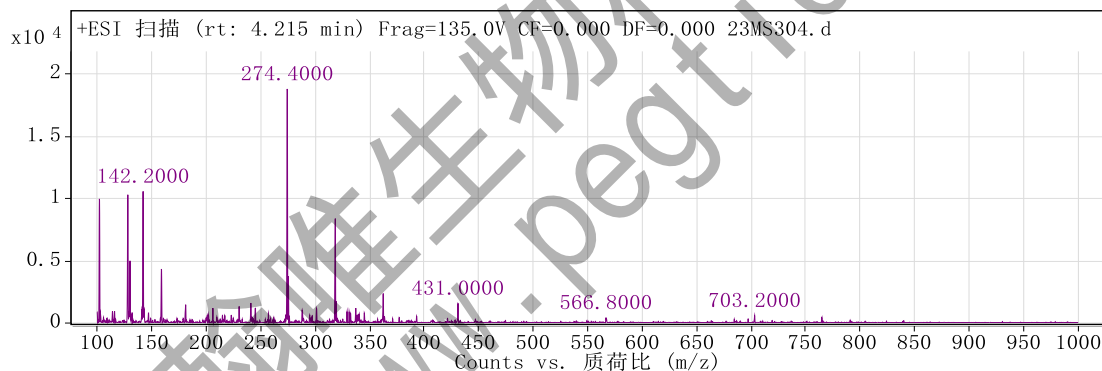
# 定性分析报告



峰列表

| m/z   | z | 丰度       |
|-------|---|----------|
| 102.2 |   | 11644.04 |
| 128.2 |   | 10952.98 |
| 130.3 |   | 5286.28  |
| 142.2 | 1 | 12335.48 |
| 143.2 | 1 | 1729.38  |
| 159.1 |   | 5472.1   |
| 181.2 |   | 4610.36  |
| 219.3 |   | 2455.88  |
| 241.1 |   | 1797.52  |
| 431.2 |   | 2654.7   |

裂解电压 135      碰撞能量 0      电离模式 ESI

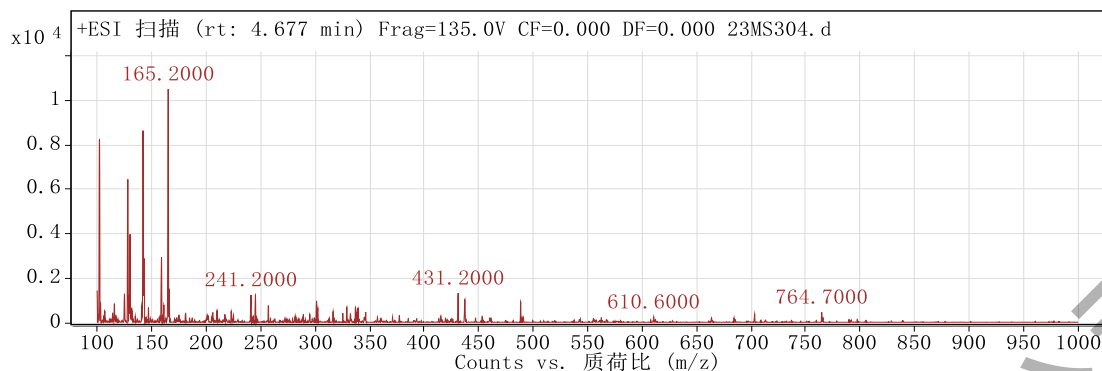


峰列表

| m/z   | z | 丰度       |
|-------|---|----------|
| 102.1 |   | 9967.48  |
| 128.2 |   | 10300.98 |
| 130.2 |   | 4997.38  |
| 142.2 | 1 | 10571.88 |
| 159   |   | 4341.34  |
| 274.4 | 1 | 18795.92 |
| 275.4 | 1 | 3747.58  |
| 318.5 | 2 | 8386     |
| 319.3 |   | 1738.66  |
| 362.5 | 1 | 2370.28  |

裂解电压 135      碰撞能量 0      电离模式 ESI

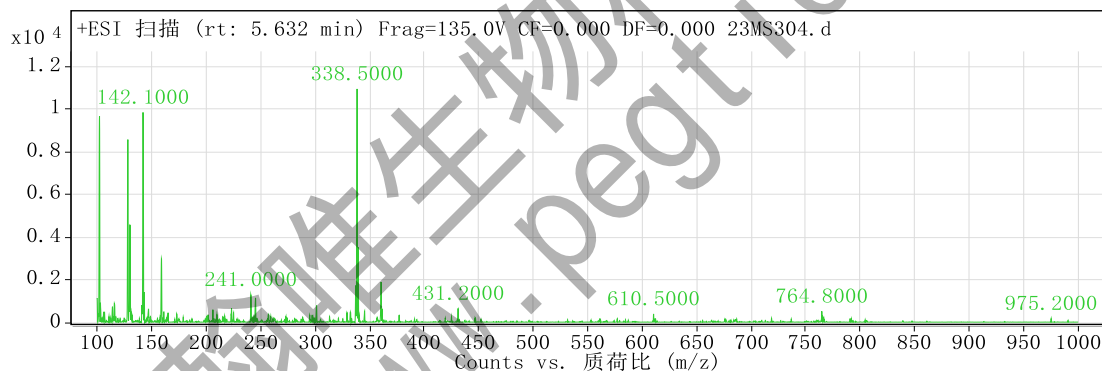
# 定性分析报告



峰列表

| m/z   | z | 丰度       |
|-------|---|----------|
| 102.2 | 1 | 8258.6   |
| 125.1 |   | 1320.42  |
| 128.2 |   | 6447.1   |
| 130.3 |   | 3991.5   |
| 142.1 |   | 8632.34  |
| 143.1 | 1 | 2903.66  |
| 159.1 |   | 2946.22  |
| 165.2 |   | 10490.48 |
| 166.1 |   | 1543.54  |
| 431.2 |   | 1345.22  |

裂解电压 135      碰撞能量 0      电离模式 ESI



峰列表

| m/z   | z | 丰度       |
|-------|---|----------|
| 102.2 |   | 9665.84  |
| 128.2 |   | 8577.68  |
| 130.1 | 1 | 4585.28  |
| 142.1 |   | 9847.96  |
| 143.2 |   | 1440.78  |
| 159   |   | 2999.04  |
| 337.2 |   | 1752.56  |
| 338.5 | 1 | 10945.72 |
| 339.5 | 1 | 3537.98  |
| 360.5 | 2 | 1921.38  |

--- 报告结束 ---